

УДК 519.6

Интеграл Дюамеля и операционно-структурный метод в математическом моделировании нестационарных температурных процессов для областей неканонической формы

Т. В. Бутенко, А. П. Слесаренко

Ин-т проблем машиностроения им. А.Н. Подгорного НАН Украины

Предложен аналитический метод для решения нестационарных задач теплопроводности для областей сложной конфигурации с нестационарными граничными условиями и источниками энергии. Метод основан на совместном применении интеграла Дюамеля и операционно-структурного метода.

Ключевые слова: задача теплопроводности, область сложной формы, нестационарные граничные условия и источники энергии, интеграл Дюамеля, метод Бубнова-Галёркина

Запропоновано аналітичний метод для вирішення нестационарних задач теплопровідності для областей складної конфігурації з нестационарними крайовими умовами та джерелами енергії. Метод базується на одночасному використанні інтеграла Дюамеля та операційно-структурного метода.

Ключові слова: задача теплопровідності, область складної форми, нестационарні граничні умови і джерела енергії, інтеграл Дюамеля, метод Бубнова-Гальоркіна

An analytical method is suggested of solution of the unsteady-state heat conduction problems for the complex-configuration regions with unsteady-state boundary conditions and energy sources. The method is based on the simultaneous use of the Duhamel integrals and operational-structural method. The calculation results are presented for one variant.

Keywords: heat conduction problem, a complex domain, time-dependent boundary conditions and sources of energy, the integral Duhamel, the method of Bubnov-Galerkin

При решении нестационарных задач теплопроводности для неклассических областей операционно-структурным методом [1] совместно применяется преобразование Лапласа и структурный метод. Последний позволяет при использовании методов Ритца или Бубнова-Галеркина для решения задачи в области изображений преодолеть трудности построения системы координатных функций, связанные со сложностью геометрической формы конструктивного элемента и характера краевых условий на его поверхности. Однако при сложной зависимости от времени температуры внешней среды, теплового потока и интенсивности внутренних источников энергии возникают существенные трудности, связанные с применением преобразования Лапласа. В данной статье решение задачи теплопроводности со сложными нестационарными граничными условиями и источниками энергии выводится с использованием операционно-структурного метода в виде интегралов Дюамеля [2]. Это позволяет, получая решение исходной задачи в аналитическом виде, сохранить в нем параметры, характеризующие нестационарность температуры внешней среды, теплового потока и интенсивности внутренних источников энергии.

Рассмотрим задачу распределения температурного поля $u(M, t)$ в области Ω при изменении времени в интервале $0 < t < \infty$:

$$\rho \frac{\partial u(M, t)}{\partial t} = Au(M, t) + \sum_{m_1=1}^r F_{m_1}(M) Q_{m_1}(t); \quad u(M, t)|_{t=0} = 0, \quad (1)$$

$$L_j u(M, t) \Big|_{\Gamma_j} = \sum_{m_2=1}^{l_j} f_{jm_2}(M) q_{jm_2}(t), \quad j=1, \dots, s, \quad (2)$$

где $Au(M, t) = \lambda[\Delta(M, t) - \zeta(M)u(M, t)]$; L_j – линейный дифференциальный оператор 1-го порядка, не зависящий от t ; $\bigcup_{j=1}^s \Gamma_j = \partial\Omega$. Применим к уравнению и граничным условиям (1), (2) интегральное преобразование Лапласа по переменной t :

$$\bar{u}(M, p) \neq u(M, t); \quad \bar{Q}_{m_1}(p) \neq Q_{m_1}(t); \quad \bar{q}_{jm_2}(p) \neq q_{jm_2}(t).$$

Тогда в области изображений получим

$$A\bar{u}(M, p) - p\rho\bar{u}(M, p) + \sum_{m_1=1}^r F_{m_1}(M)\bar{Q}_{m_1}(p) = 0 \quad (3)$$

$$L_j \bar{u}(M, p) \Big|_{\Gamma_j} = \sum_{m_2=1}^{l_j} f_{jm_2}(M) \bar{q}_{jm_2}(p), \quad j=1, \dots, s. \quad (4)$$

Решение задачи (3), (4), согласно [1], будем искать в виде

$$\bar{u}^{(n)}(M, p) = \sum_{j=1}^s \sum_{m_1=1}^{l_j} \Phi_{jm_2}(M) q_{jm_2}(p) + \sum_{i=1}^n \bar{C}_i(p) \chi_i(M), \quad (5)$$

где $\chi_i(M)$ – координатные функции, удовлетворяющие однородным граничным условиям задачи (3), (4), а $\Phi_{jm_2}(M)$ удовлетворяет условиям

$$L_j \Phi_{jm_2}(M) \Big|_{\Gamma_k} = \begin{cases} f_{jm_2}(M), & k=j, \\ 0, & k \neq j. \end{cases}$$

Система Бубнова-Галеркина для определения коэффициентов-изображений $\bar{C}_i(p)$ имеет вид

$$\sum_{i=1}^n (A_{ik} + pB_{ik}) \bar{C}_i(p) = E_k(p), \quad (6)$$

где

$$A_{ik} = \lambda \int_{\Omega} (\Delta \chi_i - \zeta \chi_i) \chi_k d\Omega; \quad B_{ik} = - \int_{\Omega} \rho \chi_i \chi_k d\Omega;$$

$$E_k(p) = \sum_{m_1=1}^r \bar{Q}_{m_1}(p) \alpha_{km_1} + \sum_{i=1}^s \sum_{m_2=1}^{l_j} q_{jm_2}(p) \beta_{kjm_2};$$

$$\alpha_{km_1} = - \int_{\Omega} F_{m_1} \chi_k d\Omega; \quad \beta_{kjm_2} = \int_{\Omega} [-\Delta \Phi_{jm_2} + p\rho \Phi_{jm_2}] \chi_k d\Omega.$$

Для решения системы (6) получим

$$\bar{C}_i(p) = \left[\sum_{k=1}^n E_k(p) \Delta_{ik}(p) \right] [\Delta(p)]^{-1}, \quad (7)$$

где $\Delta(p)$ – определитель матрицы системы (6), а $\Delta_{ik}(p)$ – соответствующие алгебраические дополнения. Представим (7) в виде

$$\begin{aligned}\bar{C}_i(p) &= \left[\sum_{k=1}^n \left(\sum_{m_1=1}^r Q_{m_1}(p) \alpha_{km_1} + \sum_{j=1}^s \sum_{m_2=1}^{l_j} q_{jm_2}(p) \beta_{kjm_2} \right) \Delta_{ik}(p) \right] [\Delta(p)]^{-1} = \\ &= \sum_{m_1=1}^r p \bar{Q}_{m_1}(p) \sum_{k=1}^n \alpha_{km_1} \frac{\Delta_{ik}(p)}{p \Delta(p)} + \sum_{j=1}^s \sum_{m_2=1}^{l_j} p q_{jm_2}(p) \sum_{k=1}^n \beta_{kjm_2} \frac{\Delta_{ik}(p)}{p \Delta(p)} = \\ &= \sum_{m_1=1}^r p \bar{Q}_{m_1}(p) \bar{C}_{im_1}^I(p) + \sum_{j=1}^s \sum_{m_2=1}^{l_j} p q_{jm_2}(p) \bar{C}_{ijm_2}^{II}(p).\end{aligned}$$

Используя теоремы о дифференцировании и свертке оригиналов, получим

$$\begin{aligned}C_i(t) &= \sum_{m_1=1}^r \int_0^t Q_{m_1}(\tau) \frac{d}{dt} C_{im_1}^I(t-\tau) d\tau + \\ &+ \sum_{j=1}^s \sum_{m_2=1}^{l_j} \int_0^t q_{jm_2}(\tau) \frac{d}{dt} C_{ijm_2}^{II}(t-\tau) d\tau,\end{aligned}$$

где

$$\bar{C}_i(p) \neq C_i(t); \quad \bar{C}_{im_1}^I(p) \neq C_{im_1}^I(t); \quad \bar{C}_{ijm_2}^{II}(p) \neq C_{ijm_2}^{II}(t).$$

Решение исходной задачи (1), (2) находим из (5):

$$\begin{aligned}u^{(n)}(M, t) &= \sum_{m_1=1}^r \int_0^t Q_{m_1}(\tau) \frac{d}{dt} \sum_{i=1}^n C_{im_1}^I(t-\tau) \chi_i(M) d\tau + \\ &+ \sum_{j=1}^s \sum_{m_2=1}^{l_j} \left[\int_0^t q_{jm_2}(\tau) \frac{d}{dt} \sum_{i=1}^n C_{ijm_2}^{II}(t-\tau) \chi_i(M) d\tau + \Phi_{jm_2}(M) q_{jm_2}(t) \right] = \\ &= \sum_{m_1=1}^r \int_0^t Q_{m_1}(\tau) \frac{\partial}{\partial t} W_{m_1}^{(n)}(M, t-\tau) d\tau + \\ &+ \sum_{j=1}^s \sum_{m_2=1}^{l_j} \left[\int_0^t q_{jm_2}(\tau) \frac{\partial}{\partial t} V_{jm_2}^{(n)}(M, t-\tau) d\tau + q_{jm_2}(0) f_{jm_2}(M) \right],\end{aligned}\tag{8}$$

где

$$W_{m_1}^{(n)}(M, t) = \sum_{i=1}^n C_{im_1}^I(t) \chi_i(M)\tag{9}$$

- решение задачи

$$\begin{aligned}\frac{\partial u(M, t)}{\partial t} &= Au(M, t) + F_{m_1}(M); \quad u(M, t)|_{t=0} = 0; \\ L_i u(M, t)|_{\Gamma_i} &= 0, \quad i = 1, \dots, s,\end{aligned}\tag{10}$$

а

$$V_{jm_2}^{(n)}(M, t) = \sum_{i=1}^n C_{ijm_2}^{II}(t) \chi_i(M) + \Phi_{jm_2}(M)\tag{11}$$

- решение задачи

$$\begin{aligned} \frac{\partial u(M, t)}{\partial t} &= Au(M, t); \quad u(M, t)|_{t=0} = 0; \\ L_i u(M, t)|_{\Gamma_i} &= \begin{cases} f_{jm_2}(M), & i = j, \\ 0, & i \neq j, \end{cases} \quad i = 1, \dots, s. \end{aligned} \quad (12)$$

Таким образом, решение (9), (11) строятся при помощи операционно-структурного метода с единой системой координатных функций $\chi_i(M)$, а решение исходной задачи (1), (2) представляется в виде интегралов Дюамеля через решения (9), (11) задач (10), (12). Представление решения исходной задачи в виде (8) избавляет от необходимости нахождения изображений для функций $Q_{m_1}(t)$, $q_{jm_2}(t)$, делает процедуру обратного преобразования стереотипной и дает возможность производить анализ решения исходной задачи при различных $Q_{m_1}(t)$, $q_{jm_2}(t)$.

По предложенному выше методу решения нестационарных задач теплопроводности для неклассических областей разработаны алгоритмы, которые реализованы в виде программ для персонального компьютера в среде Delphi 7. Тестовая проверка алгоритмов, которая проводилась на задачах с различными нестационарными граничными условиями и нестационарными источниками энергии, показала, что погрешность расчета температурных полей практически определяется сложностью геометрической информации и мало

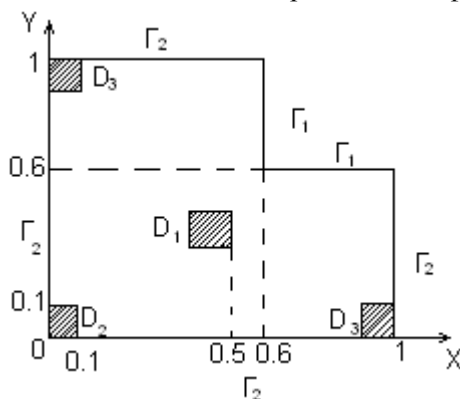


Рис. 1. Конструктивная схема элемента с источниками энергии

зависит от вида нестационарных составляющих в граничных условиях и функциях источников энергии $Q_{m_1}(t)$, $q_{jm_2}(t)$.

В качестве примера применения изложенного метода рассмотрим случай, когда определение температурного поля $u(x, y, t)$ в пластине с системой источников энергии (рис. 1) сводится к решению следующей нестационарной задачи теплопроводности:

$$\frac{\partial u(x, y, F_0)}{\partial F_0} = \Delta u(x, y, F_0) - b^2 u(x, y, F_0) + \sum_{m=1}^3 f_m(x, y) \varphi_m(F_0), \quad (13)$$

$$u(x, y, F_0)|_{F_0=0} = 0, \quad f_m(x, y) = \begin{cases} \frac{P}{0,01\lambda d}, & (x, y) \in D_m, \\ 0, & (x, y) \notin D_m, \end{cases} \quad (14)$$

$$u(x, y, F_0)|_{\Gamma_1} = 0, \quad \frac{\partial u(x, y, F_0)}{\partial \nu} \Big|_{\Gamma_2} = 0,$$

где u - температура; ρ - плотность; λ - коэффициент теплопроводности; c - удельная теплоемкость; $F_0 = t \frac{\lambda}{\rho c L}$ - критерий Фурье; ν - направление внутренней нормали к контуру Γ_2 ; L - характерный размер пластины; d - толщина пластины; α - сумма полных коэффициентов теплоотдачи с поверхности пластины; $Bi = \frac{\alpha L^2}{\lambda d} = b^2$ - критерий Био.

Решение задачи (13), (14), согласно (8), можно представить в виде

$$u^{(n)}(x, y, F_0) = \sum_{m=1}^3 \int_0^{F_0} \varphi_m(\tau) \frac{\partial}{\partial F_0} W_m^{(n)}(x, y, F_0 - \tau) d\tau, \quad (15)$$

где n - количество координатных функций.

$$W_m^{(n)}(x, y, F_0) = \sum_{i,j} C_{ijm}(F_0) \chi_{ij}(x, y)$$

- решение задачи

$$\frac{\partial W_m}{\partial F_0} = \Delta W_m - b^2 W_m + f_m; \quad W_m|_{F_0=0} = 0; \quad (16)$$

$$W_m|_{\Gamma_1} = 0; \quad \frac{\partial W_m}{\partial \nu} \Big|_{\Gamma_2} = 0; \quad (17)$$

$\chi_{ij}(x, y)$ - координатные функции, точно удовлетворяющие граничным условиям (14);

$$\chi_{ij} = \frac{\omega_1}{\omega_1 + \omega_2^2} \Phi_{ij} = \frac{\omega_1}{\omega_1 + \omega_2^2} - \left[\left(P_i - \omega_{11} \frac{d\omega_{11}}{dx} \frac{dP_i}{dx} \right) \times \right. \\ \times \left(V_j - \omega_{12} \frac{d\omega_{12}}{dy} \frac{dV_j}{dy} \right) + \left(P_j - \omega_{11} \frac{d\omega_{11}}{dx} \frac{dP_j}{dx} \right) \times \\ \left. \times \left(V_i - \omega_{12} \frac{d\omega_{12}}{dy} \frac{dV_i}{dy} \right) \right]; \quad (18)$$

$$\omega_2 = \omega_{11}\omega_{12}; \quad \omega_3 = \omega_{21} + \omega_{22} + \sqrt{\omega_{21}^2 + \omega_{22}^2};$$

$$\omega_{11} = x(1-x); \quad \omega_{12} = y(1-y); \quad \omega_{21} = 0.6 - x; \quad \omega_{22} = 0.6 - y;$$

$P_i(x)$, $V_i(y)$ - полиномы Лежандра.

Коэффициенты $C_{ijm}(F_0) \neq \bar{C}_{ijm}(p)$, согласно (7), определяются по формуле

$$\bar{C}_{ijm}(p) = \sum_{k,s} Z_{ijks}(p) \int_{\Omega} [-f_m \chi_{ks}] d\Omega; \quad Z_{ijks}(p) = \frac{\Delta_{ijks}(p)}{p\Delta(p)}.$$

Обратное преобразование осуществляется разложением $Z_{ijks}(p)$ на простые дроби.

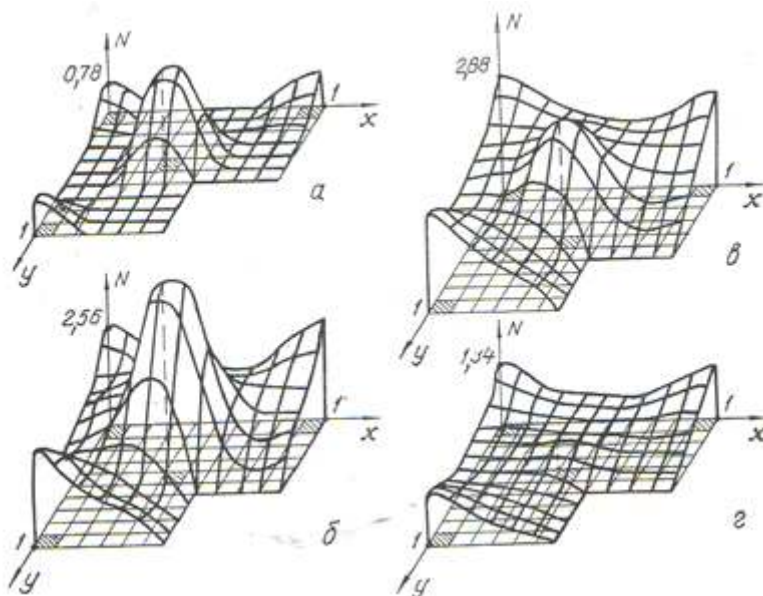


Рис.2. Распределение температурного поля в элементе (рис.1) при а - $F_0=0.01$; б - 0.1 ; в - 1.0 ; г - 10

При отыскании корней p_i уравнения $\Delta(p)=0$ определяются собственные значения $p_i^* = -(p_i + b^2)$ задачи

$$\Delta W - p^* W = 0; \quad W|_{\Gamma_1} = 0; \quad \frac{\partial W}{\partial \nu}|_{\Gamma_2} = 0.$$

Собственные значения $p_i^* (i=1, \dots, n)$ - вещественные положительные и представляют собой отрезок монотонно возрастающей последовательности. При увеличении числа координатных функций значения p_i^* стабилизируются.

На рис.2, а - г в пространственных проекциях представлено распределение температурного поля в виде безразмерной критериальной функции $N(x, y, F_0) = u(x, y, F_0) \lambda d / P$ от координат x, y при $B_i = b^2 = 5$; $\varphi_m(F_0) = 1 + A_m \exp(-F_0)$, $A_1 = 19$, $A_2 = 0.5$, $A_3 = 1$; $n = 21$ для $F_0 = 0.01; 0.1; 1.0; 10$. Для тестовой проверки алгоритмов рассматривалась задача с системой источников энергии для квадратной пластины с теплоизоляцией на торцах (пластина без выреза), при этом координатные функции для такой задачи выбирались в виде Φ_{ij} из выражения (18). Относительная погрешность тестовой задачи при сравнении с методом Фурье при $n = 20$, $F_0 \geq 0.01$ не превышала 2%, а для тестовой и основной задач (13), (14) при малых F_0 значения температуры,

рассчитанные в точке, наиболее удаленной от выреза ($x = 0, y = 0$), практически совпали.

ЛИТЕРАТУРА

1. Слесаренко А.П. Бутенко Т.В. Моделирование нелинейных тепловых процессов на базе совместного применения метода возмущений, регионально-структурного и вариационного методов// Вестник Харьк. нац. ун-та.,-2008.-№833.Сер. «Математическое моделирование. Информационные технологии. Автоматизированные системы управления», вып.10.- С.89-96
2. Михлин С.Г. Вариационные методы в математической физике. - М.: Наука,1970.-512с.
3. Диткин В.А., Прудников А.П. Интегральные преобразования и операционное исчисление. - М.: Наука, 1974.-524 с.

Надійшла 12.08.2009.

© Бутенко Т. В., Слесаренко А. П., 2009